

إمتداد جديد لتوزيع Yule بثلاث معالم

إعداد

الأستاذ الدكتور / محمد توفيق إسماعيل البلقيني

أستاذ الرياضيات والإحصاء الإكتواري

كلية التجارة - جامعة المنصورة

الأستاذ الدكتور / البيومي عوض عوض طافية

أستاذ بقسم الإحصاء التطبيقي والتأمين

كلية التجارة - جامعة المنصورة

الدكتور / رضا عبد الفتاح مصطفى الشناوي

مدرس بقسم الإحصاء التطبيقي والتأمين

كلية التجارة - جامعة المنصورة

أمل طلبة محمد طلبة بدوى

مدرس مساعد بقسم الرياضيات والإحصاء والتأمين

أكاديمية السادات للعلوم الإدارية

الملخص

اتجهت بعض الدراسات الحديثة إلى إشتقاق إمتدادات أخرى للتوزيع **Yule** والذي يعد من أكثر وأدق التوزيعات المستخدمة في البيانات شديدة الإنماء وذلك بهدف الحصول على دقة أعلى للتوزيع، من أهم تلك الدراسات دراستي [Spierdijk (٢٠٠٧) و Rodriguez (٢٠١١)].

في هذا البحث تم الربط بين النتائج التي انتهت إليها كلا الدراستين المشار إليها ومن ثم تم الحصول على إمتداد آخر جديد للتوزيع (ρ) [Yule] بثلاثة معلم وذلك باستخدام أسلوب خلط التوزيعات. كما تم الحصول على تفسير لتبابن التوزيع من خلال تقسيمه إلى ثلاثة أجزاء بحسب مصادر الاختلاف (عشوانية - داخلية - خارجية).

التوزيع الجديد المقدم في هذا البحث يعتبر الأعم والأشمل للتوزيعات **Yule** حيث أنه يتضمن الإمتدادات المقدمة في الدراستين المشار لها كحالات خاصة منه. وقد تم استخدام التوزيع الجديد في توفيق نفس نوع البيانات المستخدم في دراستي [Spierdijk (٢٠٠٧) و Rodriguez (٢٠١١)] و مقارنة نتائج البحث مع النتائج التي تم الحصول عليها في تلك الدراسات.

ABSTRACT

Some recent studies have tended to derive other extensions for Yule, which is the more efficient one for fitting superstar data, to obtain more accuracy in fitting data. The

مقدمة

قد **Yule(ρ)** توزيع **Yule-Simon** المعروف باسم توزيع **Yule** في دراسة [Yule, G. (١٩٢٥)] ثم أعيد إكتشافه في دراسة [Simon (١٩٥٥)]. تأخذ الدالة الإحتمالية للمتغير

- ρ و α تمثلان معالم التوزيع حيث أن $(\cdot > \rho)$ و $(\cdot < \alpha)$.
- $B_e(a, b)$ تمثل دالة بيتا غير الكاملة incomplete Beta function حيث أن:

$$B_e(a, b) = \int_0^{\rho} x^{a-1} (1-x)^{b-1} dx$$

- تنتج دالة الكثافة للتوزيع Yule بمعلمة واحدة ρ عند $(\alpha = 0)$ ، أي أن $.Yule(\rho) = GYule(\rho, 0)$

في دراسة [Rodríguez (٢٠١١)] تم الحصول على إمتداد آخر للتوزيع Yule وذلك من خلال خلط التوزيع الهندسي بتوزيع بيتا المعم [EYule] وأطلق عليه [BetaI(ρ, λ)] وأطلق عليه extended Yule حيث تأخذ الدالة الإحتمالية للمتغير العشوائي Y والذي يتبع توزيع $[EYule(\rho, \lambda)]$ الشكل التالي:

$$P[Y = y] = \frac{(\rho + 1) \lambda^{y-1} B(y, \rho + 1)}{F_1(1, 1; \rho + 2; \lambda)} ; y = 1, 2, \dots$$

العشواني Y والذي يتبع توزيع $P[Y = y]$ الشكل التالي:

$$\begin{aligned} P[Y = y] \\ = \rho B(y, \rho + 1) \\ ; y = 1, 2, \dots \end{aligned}$$

حيث أن ρ هي معلمة التوزيع الوحيدة تمثل دالة بيتا $B(a, b)$ و $(\rho > 0)$.

إهتمت دراسة [Spierdijk (٢٠٠٧)] بما أشارت إليه دراستي [Simon (١٩٢٤, sec. II)] و [Yule (١٩٥٥, sec. I)] فيما يخص إمكانية إشتقاق تعليم آخر من توزيع Yule بمعلمتين. وقد تم الحصول على صيغة جديدة للتوزيع Yule بمعلمتين وأطلق عليه GYule اختصاراً لـ generalized Yule الإحتمالية للمتغير العشوائي Y والذي يتبع توزيع $GYule(\rho, \alpha)$ الشكل التالي:

$$\begin{aligned} P[Y = y] \\ = \frac{\rho}{1 - \alpha^\rho} B_{1-\alpha}(y, \rho + 1) \\ ; y = 1, 2, \dots \end{aligned}$$

حيث أن:

تفسير لتبين التوزيع من خلال تقسيمة إلى ثلاثة أجزاء بحسب مصادر الاختلاف (عشوانية - داخلية - خارجية).

تم استخدام التوزيع الجديد في توفيق نفس البيانات المستخدمة في دراستي [Spierdijk (٢٠٠٧) و Rodriguez (٢٠١١)] وذلك بعرض مقارنة نتائج البحث مع النتائج التي تم الحصول عليها في تلك الدراسات.

الإمتداد الجديد المقترن للتوزيع

Yule

في دراسة (المقالة الأولى) تم إشتقاق دالة كثافة توزيع GYule من خلال خلط التوزيع الهندسي مع بيّنا المعمم المقطوع بوضع قيد على معلمة التوزيع الثانية ($\lambda = \rho$) ، وقد تمت الإشارة لهذا الخليط بالرمز التالي:

$$\text{Geometric}(P) \bigwedge_P \text{BetaI}(\rho, 1|\alpha)$$

في هذا البحث تم تقديم إمتداد آخر جديد للتوزيع Yule وذلك من خلال خلط التوزيع الهندسي مع بيّنا المعمم المقطوع وبدون وضع آية قيود على المعلم، أي باستخدام الخليط:

$$\text{Geometric}(P) \bigwedge_P \text{BetaI}(\rho, \lambda|\alpha)$$

حيث أن:

- ρ و λ تمثلان معلمات التوزيع حيث أن ($\lambda > \rho$) و ($\lambda < \rho$).

- دالة جلوس الهندسية الزائدة، حيث أن:

$$_r F_1(\alpha, \beta; \gamma; \lambda) = \sum_{r=0}^{\infty} \frac{(\alpha)_r (\beta)_r}{(\gamma)_r} \frac{\lambda^r}{r!}; \quad \alpha, \beta, \gamma, \lambda \in \mathbb{R}$$

- تنتج دالة الكثافة للتوزيع Yule بمعلمة واحدة ρ عند ($\lambda = \rho$) ، أي أن $\text{Yule}(\rho) = \text{EYule}(\rho)$.

في هذا البحث تم الربط بين النتائج التي إنتهت إليها الدراستين [Spierdijk (٢٠٠٧) و Rodriguez (٢٠١١)]. ومن ثم تم الحصول على إمتداد آخر جديد للتوزيع [Yule(ρ) بثلاثة معلمات] من خلال خلط التوزيع الهندسي بتوزيع بيّنا المعمم المقطوع [BetaI($\rho, \lambda|\alpha$)]. حيث يتضمن التوزيع الجديد التوزيعات GYule و Yule و EYule كحالات خاصة مما يضيف للتوزيع ميزة هامة وهي الحصول على دقة أعلى في توفيق البيانات. كما تم أيضا الحصول على

(١)

الزائدة لمتغيرين من النوع الأول، حيث أن:

$$F_1(a; b_1, b_2; c; x, y) = \sum_{m,n=0}^{\infty} \frac{(a)_{m+n} (b_1)_m (b_2)_n}{(c)_{m+n}} \frac{x^m y^n}{m! n!}$$

$$; |x| < 1, |y| < 1$$

تم الحصول على دالة كثافة التوزيع الجديد من خلال إجراء التكامل التالي:

$$P(X=x) = \int_{1-\lambda+\alpha}^1 P(1-P)^x \cdot \frac{\frac{1}{\lambda P} \left(1 - \frac{1-P}{\lambda}\right)^\rho}{\left[\left(\frac{1-\alpha}{\lambda}\right) F_1(1; -\rho; 1; 2; \frac{1-\alpha}{\lambda}, \lambda - \alpha)\right]} dP$$

بوضع $(p = 1 - P)$ وعمل إزاحة للتوزيع بوضع $(Y = X + 1)$ تنتج أن دالة كثافة التوزيع الجديد الشكل التالي:

$$f(y) = \frac{(\lambda)^{y-1} B_{\frac{\alpha}{\lambda}}(y, \rho + 1)}{\left[\left(\frac{1-\alpha}{\lambda}\right) F_1(1; -\rho; 1; 2; \frac{1-\alpha}{\lambda}, \lambda - \alpha)\right]}$$

$$, y = 1, 2, 3, \dots \quad (٣)$$

تم التأكد من أن دالة الكثافة (3) تحقق شروط دالة الكثافة الإحتمالية. وقد تم استخدام الرمز $NYule(\rho, \lambda, \alpha)$

يلنتج إمتداد جديد لتوزيع Yule بثلاثة معلم. يتضمن التوزيع الجديد أهم الإمتدادات المقدمة في الدراسات الحديثة [GYule, EYule] حالات خاصة منه. حيث تم في البداية الحصول على دالة الكثافة لتوزيع بينما المعم المقطوع من الأسفل عند النقطة $1 - \lambda + \alpha$ بالشكل التالي:

 $f(P|\alpha)$

$$= \frac{\frac{1}{\lambda P} \left(1 - \frac{1-P}{\lambda}\right)^\rho}{\left[\left(\frac{1-\alpha}{\lambda}\right) F_1(1; -\rho; 1; 2; \frac{1-\alpha}{\lambda}, \lambda - \alpha)\right]} , 1 - \lambda + \alpha < P < 1 \quad (٤)$$

حيث أن:

- (λ, ρ) هي معلم توزيع بينما المعم بحيث أن $(1 \leq \lambda < \infty)$ و $(-\rho < \rho < 0)$.
- α هي معلمة التوزيع الشرطية حيث أن $(1 - \lambda > \alpha)$.
- كما أن
- $F_1(a; b_1, b_2; c; x, y)$ عبارة عن دالة الهندسية Appell

خصائص توزيع $NYule(\rho, \lambda, \alpha)$

توزيع $NYule(\rho, \lambda, \alpha)$

مناسب للبيانات شديدة الإنماء والتي يكون فيها الطرف الأيمن لمنحنى توزيعها التكراري كثيف heavy tail، حيث تكون فيها التكرارات للقيم الصغيرة كبيرة جداً وتختفي بشهادة كلما زادت القيم لتكون التكرارات للقيم الكبيرة صغيرة جداً جداً. الأشكال (٢، ٣، ٤) توضح علاقة التوزيع بالمعامل الثلاثة (ρ, λ, α) وكيف يتأثر منحنى دالة الكثافة بها. حيث يتضح من تلك الأشكال أن حدة الإنماء التوزيع تزيد بزيادة قيمة المعامل (ρ, α) وتنقص بزيادة قيمة المعلمة (λ) .

تم الحصول على الدالة المولدة للإحتمال لتوزيع $NYule(\rho, \lambda, \alpha)$ في هذا البحث بالشكل التالي:

$$G(z) = z \frac{F_1[1; -\rho; 1; 2; \frac{\lambda - \alpha}{\lambda}, z(\lambda - \alpha)]}{F_1[1; -\rho; 1; 2; \frac{\lambda - \alpha}{\lambda}, (\lambda - \alpha)]}$$

كما تم إيجاد متوسط وتبان التوزيع بالشكل التالي:

\mu =

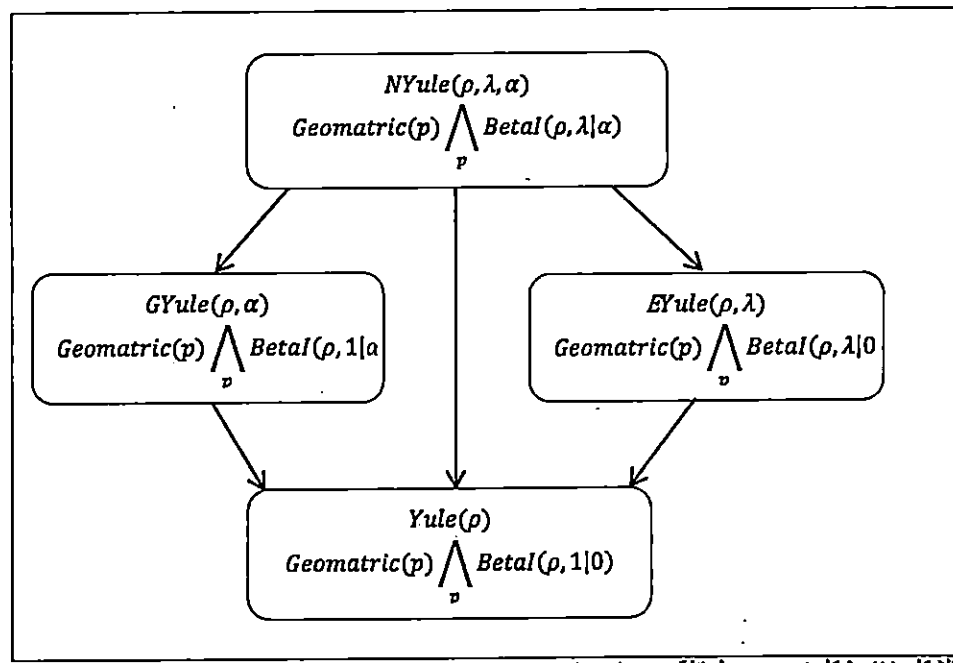
$$\frac{(1 - \alpha) F_1[2; -\rho; 2; 2; \frac{\lambda - \alpha}{\lambda}, (\lambda - \alpha)]}{2 F_1[1; -\rho; 1; 2; \frac{\lambda - \alpha}{\lambda}, (\lambda - \alpha)]}$$

للإشارة دالة كثافة التوزيع الجديد المقترنة في هذا البحث.

من المزايا الهامة دالة الكثافة (٣) أنها تتضمن أهم الإمتدادات التي تم الحصول عليها لتوزيع Yule في الدراسات الحديثة فهو يتضمن توزيعات EYule و GYule و Yule خاصية، حيث وجد أن:

- عند $(\alpha = 0)$ تنتج دالة كثافة التوزيع EYule المقترنة دراسة [Rodríguez, M. (٢٠١١)].
- عند $(\lambda = 1)$ تنتج دالة كثافة التوزيع GYule المقترنة دراسة [Spierdijk (٢٠٠٧)].
- عند $(\lambda = 1, \alpha = 0)$ تنتج دالة كثافة التوزيع Yule المقترنة في دراسة [Simon (١٩٥٥)].

من خلال النتائج التي تم التوصل لها في هذا البحث يمكن الحصول على مجموعة من التوزيعات تكون عائلة لتوزيعات Yule عن طريق خلط التوزيع الهندسي بأشكال مختلفة من توزيع بيتا المعجم، الشكل (١) يلخص هذه النتائج.



الشكل (١): شكل توضيحي لعائلة توزيعات Yule

الحصول على تفسير لتباين التوزيع من خلال تعريفه بأنه ناتج من خلط التوزيع الهندسي بدالة الكثافة:

$$P[X|p] = p(1-p)^x$$

$$, x = 0, 1, 2, \dots$$

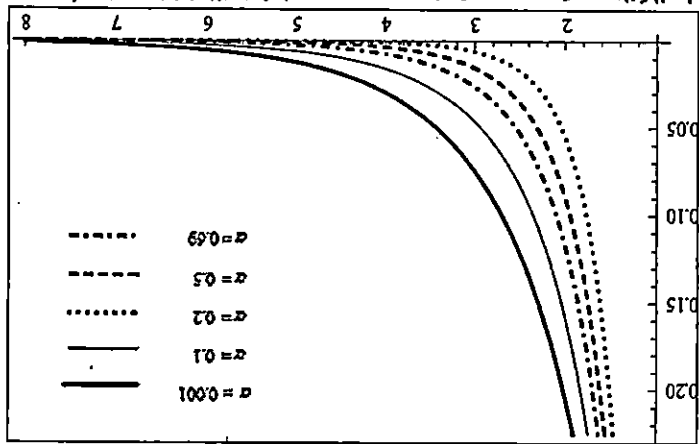
$$, E_{X|p}[X|p] = \frac{1-p}{p}$$

يتوزع بينما المعلم المقطوع من الأسفل بدالة الكثافة (٢)، ومن ثم تم في هذا

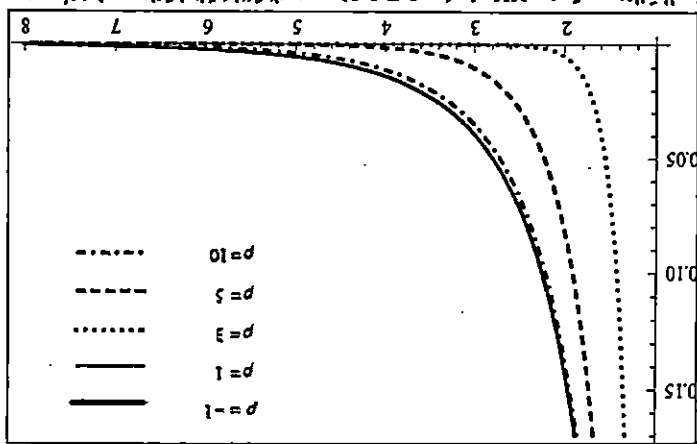
$$\begin{aligned} \sigma^2 &= 1 \\ &+ \frac{3(\lambda - \alpha)}{2} F_1[2; -\rho; 2; 3; \frac{\lambda - \alpha}{\lambda}, (\lambda - \alpha)] \\ &\quad F_1[1; -\rho; 1; 2; \frac{\lambda - \alpha}{\lambda}, (\lambda - \alpha)] \\ &+ \frac{2(\lambda - \alpha)^2}{3} F_1[3; -\rho; 3; 4; \frac{\lambda - \alpha}{\lambda}, (\lambda - \alpha)] \\ &\quad F_1[1; -\rho; 1; 2; \frac{\lambda - \alpha}{\lambda}, (\lambda - \alpha)] \\ &- \mu^2 \end{aligned}$$

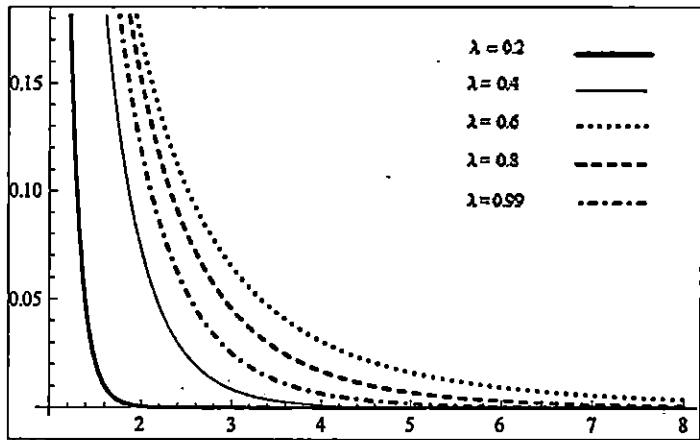
في الجزء السماوي تم إشتقاق دالة الكثافة (٣) باستخدام الخليط (١)، مما يضيف ميزة أخرى للتوزيع وهي إمكانية

α یادولی یادی، پس از Nyule(2,0.7,α) میکل یادی یادی یادی (r) یادی



p یادولی یادی، پس از Nyule(p,0.7,0.2) میکل یادی یادی یادی (y) یادی





الشكل (٤): أشكال مختلفة لدالة كثافة التوزيع $NYule(2, \lambda, 0.2)$ عند قيم مختلفة للمعلمة λ

تم الحصول على العزوم الثالثة الأولى للتوزيع ومساواة العزوم المحسوبة من البيانات بالعزوم النظرية ومن ثم حل المعادلات التالية:

$$a_1 = (\lambda\tau) \frac{F_1(2; -\rho; 2; 3; \tau, \lambda\tau)}{F_1(1; -\rho; 1; 2; \tau, \lambda\tau)}$$

$$a_2 = (\lambda\tau)^2 \frac{F_1(3; -\rho; 3; 4; \tau, \lambda\tau)}{F_1(1; -\rho; 1; 2; \tau, \lambda\tau)}$$

$$a_3 = (\lambda\tau)^3 \frac{F_1(4; -\rho; 4; 5; \tau, \lambda\tau)}{F_1(1; -\rho; 1; 2; \tau, \lambda\tau)}$$

حيث تم وضع $[\tau = \frac{\lambda-\alpha}{\lambda}]$ للتبسيط، كما أن a_i هي قيم تم حسابها من البيانات الفعلية بالشكل التالي:

البحث تقسيم تباين توزيع $NYule$ إلى ثلاثة أجزاء بحسب مصادر الاختلاف وهي كالتالي:

الأول: "randomness" أي التباين الناتج بسبب العوامل العشوائية.

الثاني: "liability" أي التباين الناتج بسبب العوامل الخارجية.

الثالث: "proneness" أي التباين الناتج بسبب الاختلافات في المشاهدات بين المفردات.

هذه الأجزاء موضحة بالجدول (١).

تقدير معالم توزيع
NewYule(ρ, λ, α)

طريقة العزوم

$$a_1 = 2(\hat{\mu} - 1)$$

$$\begin{aligned} L(\theta) &= n(\bar{y} - 1) \ln[\lambda] - n \ln[\tau] \\ &+ \sum_{y=1}^n \ln[B(y, \rho + 1)] I(\tau, y, \rho \\ &+ 1)] \\ &- n \ln[F_1(1; -\rho; 1; 2; \tau, \lambda \tau)] \end{aligned}$$

في هذا البحث تم الحصول على مقدرات الإمكان الأعظم عددياً وذلك باستخدام *Mathematica*

$$a_2 = \left(\frac{3}{4}\right) (\widehat{\mu}_2 - 3\hat{\mu} + 2)$$

$$\begin{aligned} a_3 &= \left(\frac{1}{4}\right) ((\widehat{\sigma}^2 \cdot \widehat{s \cdot k}) + 2(\hat{\mu})^2 \\ &- 3\widehat{\mu}\widehat{\mu}_2 - 6\widehat{\mu}_2 \\ &+ 11\hat{\mu} - 6) \end{aligned}$$

يمكن الحصول على مقدرات العزوم من خلال حل المعادلات السابقة عددياً.

طريقة الإمكان الأعظم

تم الحصول على دالة الإمكان للتوزيع الشكل التالي:

التطبيق العملي للامتداد الجديد

في هذا البحث تم إعادة توفيق البيانات المستخدمة في دراستي [Spierdijk ٢٠٠٧] و [Rodríguez ٢٠١١]. هذه البيانات عرفت في الدراسات السابقة ببيانات النجم الساطع [superstar data]، حيث أن طبيعة هذه البيانات قائمة على فكرة التأثيرات المترانكة [snowball effects] والتي تتسبب في وجود إلتواء شديد في التوزيع التكراري للبيانات حيث تزداد التكرارات المناظرة لقيم الصغيرة وتقل بشدة كلما زادت القيم. هذا النوع من البيانات تم رصده كثيراً في مجال الفن حيث يتوجه الجمهور غالباً وبتقائية لإختيار الفنان الأكثر شهرة مما يزيد من شهرته أكثر وأكثر وذلك بغرض النظر عن كونه الأفضل في مجاله [Adler ٢٠٠٦].

الشعبية أثناء الفترة (١٩٥٨-١٩٨٩) وأعتبرت أن عدد النقاط الذهبية مقاييس على نجاحهم الفني. أما الفئة الثانية والثالثة فقد تم توفيقها منذ البداية في دراسة [Giles ٢٠٠٦] وكان مصدرها نتائج الفنانين في [Billboard Hot ١٠٠] أثناء الفترة من ١٩٥٥-٢٠٠٣. الفئة الثانية كانت عبارة عن عدد الأسابيع التي أحرزت تسجيلات الفنان فيها المركز الأول، أما الفئة الثالثة فكانت عبارة عن عدد المرات التي أحرزت تسجيلات الفنان فيها المركز الأول من بين الفنانين الذين أطلقوا ١٣ تسجيلاً على الأقل أثناء تلك الفترة.

الشاهدات الفعلية الخاصة بالثلاثة فئات متاحة في كلا الدراستين السابق الإشارة لها. النتائج التي تم الحصول عليها موضحة بالجدول (٤، ٣، ٤) والتي تحتوي على نتائج توفيق البيانات باستخدام توزيعات Yule باستخدام طريقة الإمكان الأعظم، بالإضافة إلى نتائج دقة التوفيق لكل توزيع. تم في هذا البحث إتباع نفس الطريقة المستخدمة في دراسة [Rodríguez ٢٠١١] لإختبار دقة التوفيق، حيث تم استخدام إحصاء إختبار بديلة λ^2 من خلال عمل محاكاة لتوزيع χ^2 باستخدام المعايير العشوائية من التوزيع المتقطع الخاص بالإحتمالات

البيانات المستخدمة عبارة عن ثلاثة فئات، الفئة الأولى تم توفيقها في البداية في دراسة [Chung, K. ١٩٩٤]، هذه الفئة عبارة عن عدد النقاط الذهبية للموسيقيين والتي تم رصدها من قبل إتحاد صناعة التسجيلات الأمريكية (RIAA)، حيث اقتصرت الدراسة على استخدام قائمة من البيانات المعنية بنجوم الموسيقى

NYule لتوفيق هذه الفئة وذلك باحتمالات متقاربة جدا هي على التوالي [٤٠،٤٣٩،٠.٤٣٩،٠.٤٠٧] ، وقد لوحظ أن تقدير المعلمة λ في توزيع NYule كان قريب جدا من الواحد وهذا يعني أن التوزيع NYule يقترب من توزيع GYule وهذا واضح من قيم المقدرات في الجدول (٤).

من التحليل في الفقرة السابقة للنتائج توفيق البيانات في الجداول (٢،٣،٤) ، تم التأكيد بالتطبيق العملي على ما تم التوصل له في هذا البحث وهو أن توزيع NYule هو الأعم والأشمل لتوزيعات Yule المقدمة في الدراسات السابقة كما أنه يمكن الإعتماد لتوفيق البيانات شديدة الإلتواء من النوع superstar.

أيضا تم الحصول على تباين كل توزيع وتقسيمه إلى ثلاثة مكونات كما هو موضح بالجدول (٥) . حيث تم تعريف مكونات التباين لهذه البيانات بأن التباين الناتج بسبب العوامل الخارجية يتمثل في نوع الموسيقى المقدمة أو ظروف التروسيق أو أساليب الدعاية والإعلان وغيرها من العوامل الخارجية، أما التباين الناتج بسبب الإختلافات بين المفردات محل الدراسة تتمثل هنا في موهبة الفنان نفسه.

التي تم توفيرها. وقد تم حساب P-value لهذه الإحصاءات باستخدام طريقة Monte Carlo وقد تم تنفيذ ذلك باستخدام برنامج R.

عند مستوى معنويه ٠.٠٥ ، تم رفض توزيع Yule لتوفيق بيانات الفئة الأولى و قبول التوزيعات [GYule، EYule، NYule] لتوفيق هذه الفئة وذلك باحتمالات متقاربة جدا هي على التوالي [٠.٢٥٦،٠.٢٨٣،٠.٢٥١] ، وقد لوحظ أن تقدير المعلمة λ في توزيع NYule كان قريب جدا من الواحد وهذا يعني أن التوزيع NYule يقترب من توزيع GYule وهذا واضح من قيم المقدرات في الجدول (٢). وفي الفئة الثانية تم رفض توزيعي Yule و GYule لتوفيق البيانات وقبول توزيعي EYule و NYule لتوفيق هذه الفئة إلا أن إحتمال قبول توزيع NYule وهو [٠.٣٠٤] كان أعلى من إحتمال قبول توزيع EYule وهو [٠.٢٤٦] وذلك بالرغم من أن تقدير المعلمة α في توزيع NYule كان قريب جدا من الصفر وهذا يعني أن التوزيع NYule يقترب من توزيع EYule وهذا واضح من قيم المقدرات في الجدول (٣). أما في الفئة الثالثة فقد تم رفض توزيع Yule لتوفيق البيانات بمقدرات الإمكان الأعظم والعزوم وذلك بنفس الإحتمال تقريبا و قبول التوزيعات [GYule، EYule، NYule]

مناقشة النقائج

تم الحصول في هذا البحث على تعميم جديد لتوزيع Yule باستخدام أسلوب خلط التوزيعات وذلك من خلال خلط التوزيع الهندسي بتوزيع بيتا المعهم المقطوع، حيث تنتج توزيع بثلاثة معلم، مما يعطي دقه أعلى لتوثيق البيانات. بالإضافة لذلك يمكن تقسيم تباين التوزيع الجديد إلى ثلاثة مكونات (عشوائية وخارجية وداخلية)، بل والحصول على تباين لا نهائي للتوزيع الجديد. بعكس ما ذكر في دراسة [Rodríguez ٢٠١١] إلا أنه عند تنفيذ ذلك ظهر اختلاف مهم في نتيجة حساب المكون الثاني للتباین في الفنون الثانية للبيانات المستخدمة وهو أن نتيجة التباين كانت بالسالب [-٠٠٤] أي أنه لا يوجد تباين نهائي لتوزيع EYule لهذه الفنون من البيانات وهذا لا يتفق مع القيمة نفسها المحسوبة في دراسة [Rodríguez ٢٠١١] والتي كانت [٣٠١٥] وذلك بالرغم من الاتفاق التام في كل القيم المحسوبة لتوزيع EYule.

يمكن التوصية في هذا البحث بإمكانية الحصول على تعميم آخر لتوزيع Yule باستخدام نفس الأسلوب وذلك من خلال خلط التوزيع الهندسي بتوزيع بيتا المعهم المقطوع من الطرفين، بحيث ينتج توزيع بأربعة معلم، مما قد يعطي دقة أعلى لتوثيق البيانات.

الجدول (٥) يحتوي على مكونات التباين وذلك لكل التوزيعات وقد لوحظ أنه لا يمكن الحصول على تباين نهائي لتوزيع Yule للفنون الثلاثة والسبب هو أن مقدر معلمة التوزيع كانت أكبر من الواحد، وهذا تماماً ما ذكر في دراسة [Rodríguez ٢٠١١] إلا أنه عند تنفيذ ذلك ظهر اختلاف مهم في نتيجة حساب المكون الثاني للتباین في الفنون الثانية للبيانات المستخدمة وهو أن نتيجة التباين كانت بالسالب [-٠٠٤] أي أنه لا يوجد تباين نهائي لتوزيع EYule لهذه الفنون من البيانات وهذا لا يتفق مع القيمة نفسها المحسوبة في دراسة [Rodríguez ٢٠١١] والتي كانت [٣٠١٥] وذلك بالرغم من الاتفاق التام في كل القيم المحسوبة لتوزيع EYule.

وقد لوحظ أن المكون الأعلى للتباین كان بسبب العوامل الخارجية وذلك في الفنون الثلاثة، أي أن الإختلاف بين المشاهدات لم يكن عشوائياً كما أنه لم يكن ناتجاً عن وجود اختلاف في قدرات الفنانين نفسهم . وهذا يتفق مع الرأي الذي تم التوصل له في دراسة [Spierdijk ٢٠٠٧] . وجود اختلافات في مستويات النجاح بين المفردات لا يعني بالضرورة أن هناك اختلافات بين القدرات التي تمتلكها هذه المفردات.

جدول (١)

تقسيم تباين توزيع New Yule إلى العوامل الثلاثة (العشوائية والخارجية وبين المشاهدات)

Source of variability	Variance
Randomness	$\frac{(\lambda - \alpha) F_1(2; -\rho; 2; \frac{\lambda - \alpha}{\lambda}, \lambda - \alpha)}{2 F_1(1; -\rho; 1; 2; \frac{\lambda - \alpha}{\lambda}, \lambda - \alpha)}$
Liability	$\frac{(\lambda - \alpha)^2 F_1(2; -\rho; 2; \epsilon; \frac{\lambda - \alpha}{\lambda}, \lambda - \alpha)}{2 F_1(1; -\rho; 1; 2; \frac{\lambda - \alpha}{\lambda}, \lambda - \alpha)}$
Proneness	Liability - (Randomness) ²

جدول (٢)

لتكرارات المشاهدة والمتواعدة باستخدام التوزيعات *Yule* و *EYule* و *GYule* و *New Yule* بالإضافة إلى نتائج اختبار χ^2 وحساب *P-value* باستخدام طريقة *Monte Carlo* بمكرار ٢٠٠٠ مرة.

Gold	observed	Yule	GYule	EYule	NYule
١	٦٦٨	٧٣٢.٧٩	٦٥٨.٥	٦٥٤.٨٦	٦٥٨.٠٥
٢	٢٤٤	٢٣٢.٥٦	٢٤٦.٢١	٢٤٦.٣١	
٣	١١٩	١١٢.٩٠	١٣١.٩٨	١٣٣.٣٨	١٣١.٩٨
٤	٧٨	٦٥.٩٣	٨٢.٤٩	٨٣.٢٥	٨٢.٤٩
٥	٥٥	٤٢.٩٧	٥٦.١٩	٥٦.٥٤	٥٦.١٩
٦	٤٠	٣٠.١٠	٤٠.٤٤	٤٠.٥٣	٤٠.٤٤
٧	٢٤	٢٢.١٩	٣٠.٢٣	٣٠.١٨	٣٠.٢٣
٨	٣٢	١٧.٠٠	٢٣.٢٣	٢٣.١١	٢٣.٢٣
٩	٢٤	١٣.٤٢	١٨.٢٢	١٨.٠٨	١٨.٢٢
١٠	١٤	١٠.٨٤	١٤.٥٥	١٤.٣٨	١٤.٥٥
١١	١٦	٨.٩٣	١١.٧٧	١١.٦٠	١١.٧٧
١٢	١٣	٧.٤٨	٩.٦٣	٩.٤٧	٩.٦٣
١٣	١١	٦.٣٥	٧.٩٥	٧.٨٠	٧.٩٥
١٤	٥	٥.٤٥	٦.٦١	٦.٤٨	٦.٦١
١٥	٤	٤.٧٣	٥.٥٢	٥.٤٣	٥.٥٣
١٦	٤	٤.١٤	٤.٦٦	٤.٥٧	٤.٦٦
١٧	٢	٣.٦٥	٣.٩٥	٣.٨٧	٣.٩٥
١٨	٧	٣.٢٤	٣.٣٦	٣.٢٩	٣.٣٦
١٩	٢	٢.٩٠	٢.٨٦	٢.٨١	٢.٨٦
٢٠	٣	٢.٦١	٢.٤٥	٢.٤١	٢.٤٥
٢١	١	٢.٣٥	٢.١١	٢.٠٨	٢.١١
٢٢	٣	٢.١٤	١.٨٢	١.٧٩	١.٨٢

٢٣	١	١.٩٥	١.٥٧	١.٥٥	١.٥٧
٢٤	١	١.٧٨	١.٣٦	١.٣٥	١.٣٦
٢٥	.	١.٦٤	١.١٨	١.١٧	١.١٨
٢٦	.	١.٥١	١.٠٣	١.٠٢	١.٠٣
٢٧	.	١.٣٩	٠.٩٠	٠.٩٠	٠.٩٠
٢٨	.	١.٢٩	٠.٧٨	٠.٧٨	٠.٧٨
٢٩	١	١.٢٠	٠.٧٨	٠.٧٩	٠.٧٨
٣٠	.	١.١٢	٠.٧٠	٠.٧٠	٠.٧٠
٣١	.	١.٠٤	٠.٥٢	٠.٥٣	٠.٥٢
٣٢	.	٠.٩٨	٠.٤٦	٠.٤٧	٠.٤٦
٣٣	.	٠.٩١	٠.٤٠	٠.٤١	٠.٤٠
٣٤	١	٠.٨٦	٠.٣٦	٠.٣٧	٠.٣٦
٣٥	.	٠.٨١	٠.٣١	٠.٣٢	٠.٣١
٣٦	١	٠.٧٦	٠.٢٨	٠.٢٩	٠.٢٨
٣٧	١	٠.٧٢	٠.٢٤	٠.٢٥	٠.٢٤
٣٨	.	٠.٦٨	٠.٢٢	٠.٢٣	٠.٢٢
٣٩	.	٠.٦٤	٠.١٩	٠.٢١	٠.١٩
٤٠	.	٠.٦١	٠.١٧	٠.١٨	٠.١٧
٤١	.	٠.٥٨	٠.١٥	٠.١٦	٠.١٥
٤٢	.	٠.٥٥	٠.١٣	٠.١٤	٠.١٣
٤٣	.	٠.٥٢	٠.١٢	٠.١٣	٠.١٢
٤٤	.	٠.٥٠	٠.١٠	٠.١١	٠.١٠
٤٥	١	٠.٤٨	٠.٠٩	٠.١٠	٠.٠٩
≥ 46	١	١٨.٨٢	٠.٧٥	٠.٨٩	٠.٧٥
Estimated parameters		$\hat{\beta} = 1.127$	$\hat{\beta} = 0.984$	$\hat{\beta} = 0.424$	$\hat{\beta} = 0.984$
		$\hat{\alpha} = 0.910$	$\hat{\lambda} = 0.922$	$\hat{\lambda} = 0.99$	$\hat{\alpha} = 0.9$
Goodness of fit test		$\chi^2 = 92.224$ $p = 0.001$	$\chi^2 = 52.602$ $p = 0.251$	$\chi^2 = 51.087$ $p = 0.282$	$\chi^2 = 52.602$ $p = 0.251$

جدول (٣)

للتكرارات المشاهدة والمتوقعة لبيانات الفترة الثانية [Weeks] ب باستخدام التوزيع GYule ب باستخدام طريقة الإمكان الأعظم GYule وطريقة العزوم GYule(MM) ، بالإضافة إلى نتائج لختبار χ^2 وحساب P-value ب باستخدام طريقة Monte Carlo بتكرار ٣٠٠٠ مرة.

Weeks	observed	Yule	GYule	EYule	Yule
١	٣٣٧	٥١٣.٤٨	٤١٠.٨٧	٣٤٧.٤٥	٣٥٣.٩٩
٢	٢٤٩	١٦٣.٦٧	١٩٩.٦٠	٢٢٤.٧١٩	٢٢٠.٧٧٣
٣	١٣٩	٧٩.١٢	١١٧.٠٩	١٤٣.٦٠٧	١٤٠.١٥٨
٤	٩٣	٤٦.٢٠	٧٤.١٣	٩١.٣٧٤	٨٩.٥٦٥
٥	٤٧	٣٠.١١	٤٨.٩٦	٥٨.١٣	٥٧.٤١١
٦	٣٥	٢١.١٠	٣٣.٢٤	٣٦.٧٨٥	٣٦.٨٧٠
٧	٢١	١٥.٥٦	٢٣.٠٠	٢٣.٣٠٤	٢٣.٧٠٨
٨	١٣	١١.٩٢	١٦.١٥	١٤.٧٥٥	١٥.٢٥٨

٩	٩	٩.٤٠	١١.٤٦	٩.٣٣٧	٩.٨٢٧
١٠	٨	٧.٦٠	٨.٢١	٥.٩٧	٦.٣٣٢
١١	٥	٦.٢٦	٥.٩٣	٣.٧٣٦	٤.١٨٢
١٢	٢	٥.٢٤	٤.٣٠	٢.٣٣٧	٢.٦٣٢
١٣	٢	٤.٤٥	٣.١٤	١.٤٩٣	١.٦٩٨
١٤	٤	٣.٨٢	٢.٣٠	٠.٩٤٤	١.٠٩٦
١٥	١	٢.٣٢	١.٧٠	٠.٩٩٦	٠.٧٧
≥ 16	*	٤٣.٧٣	٤.٩٢	١.٢٢	١.٢٨٨
Estimated parameters		$\hat{\beta} = 1.127$	$\hat{\beta} = -0.911$	$\hat{\beta} = -1.026$	$\hat{\beta} = -0.911$
		$\hat{\alpha} = 0.719$	$\hat{\lambda} = 0.621$	$\hat{\lambda} = 0.747$	$\hat{\alpha} = 0.700$
Goodness of fit test		$\chi^2 = 217.487$ $p = 0.000$	$\chi^2 = 44.109$ $p = 0.000$	$\chi^2 = 18.307$ $p = 0.286$	$\chi^2 = 17.221$ $p = 0.304$

جدول (٤)

للتكرارات المشاهدة والمترقبة لبيانات الفئة الثالثة [Hits] يُستخدم التوزيع GYule باستخدام طريقة الإمكان الأعظم GYule وطريقة العزوم (GYule(MM))، بالإضافة إلى تنتائج اختبار χ^2 وحساب P-value ب باستخدام طريقة Monte Carlo بمكرار ٣٠٠٠ مرة.

Hits	observed	Yule	GYule	EYule	NYule
١	١٦	١٤٠.٨٤	١٢٠.٩٨	١٢١.٥٦	١٢٠.٩٨
٢	٥٧	٤٢.١	٤٨.٩٥	٤٨.٧٣	٤٨.٩٥
٣	٣٠	١٩.٣١	٢٣.٢٣	٢٦.٠٢	٢٦.٢٣
٤	١٣	١٠.٨٢	١٠.٧٦	١٠.٦٣	١٠.٧٦
٥	١٠	٦.٨٢	٦.٠٨	٦.٠١	٦.٠٨
٦	٤	٤.٦٣	٦.٧١	٦.٦٧	٦.٧١
٧	١	٣.٣٣	٤.٥٩	٤.٥٨	٤.٥٩
٨	١	٢.٤٩	٣.٢١	٣.٢١	٣.٢١
٩	٤	١.٩٣	٢.٢٧	٢.٢٨	٢.٢٧
١٠	٢	١.٥٣	١.٦٣	١.٦٤	١.٦٣
١١	١	١.٢٤	١.١٨	١.١٩	١.١٨
١٢	٢	١.٠٢	٠.٨٦	٠.٨٨	٠.٨٦
١٣	١	٠.٨٥	٠.٧٤	٠.٧٥	٠.٧٤
١٤	١	٠.٧٢	٠.٤٧	٠.٤٨	٠.٤٧
١٥	١	٠.٦٢	٠.٣٥	٠.٣٦	٠.٣٥
١٦	١	٠.٥٣	٠.٢٦	٠.٢٧	٠.٢٦
≥ 17	*	٦.٣١	٠.٨١	٠.٨٥	٠.٨١
Estimated parameters		$\hat{\beta} = 1.302$	$\hat{\beta} = -0.767$	$\hat{\beta} = -0.110$	$\hat{\beta} = -0.117$
		$\hat{\alpha} = 0.704$	$\hat{\lambda} = 0.749$	$\hat{\lambda} = 0.749$	$\hat{\alpha} = 0.702$

Goodness of fit test	$\chi^2 = 7.748$ $p = .1204$	$\chi^2 = 10.8418$ $p = .079$	$\chi^2 = 10.780$ $p = .0708$	$\chi^2 = 10.802$ $p = .0797$
----------------------	---------------------------------	----------------------------------	----------------------------------	----------------------------------

(٥) جدول

المتوسط و مكونات التباين الثلاثة باستخدام توزيع Yule و GYule والذي تم توقفهم باستخدام طريقة الإمكان الأعظم وذلك للنوات الثلاثة للبيانات.

Data set	Dist	Mean	Randomness	Liability	Proneness	Total Variance
Gold records	Yule(1,128)	1.127	-	-	-	-
	GYule(.084,.07)	1.12	1.12	1.07	0.31	18.40
	EYule(-.124,-.127)	1.12	1.12	1.11	0.84	18.73
	NYule(-.084,-.111,.11)	1.12	1.12	1.07	0.31	18.40
Weeks	Yule(1,117)	1.119	-	-	-	-
	GYule(-.117,-.117)	1.119	1.119	1.05	0.31	-
	EYule(-1,-.111,-.117)	1.119	1.119	1.11	0.31	-
	NYule(-.111,-.117,.11)	1.119	1.119	1.11	0.31	0.00
Hits	Yule(1,30)	1.30	-	-	-	-
	GYule(-.00,-.10)	1.30	1.30	1.0	1.28	1.27
	EYule(-0,-.10,-.10)	1.30	1.30	1.0	1.28	1.27
	NYule(-.0,-.10,-.10)	1.30	1.30	1.0	1.28	1.27

- o. Spierdijk, L. and Voorneveld, M., (1994), "Superstars without talent? The Yule distribution controversy", Working Paper Series in Economics and Finance 108. Stockholm School of Economics.
 - 1. Yule, G.U., (1920) "A mathematical theory of evolution, based on the conclusions of Dr. J. C. Willis", F.R.S. Phil. Trans. Roy. Soc. Lond. B 211, pp: 21-87.
 - v. conclusions of Dr. J. C. Willis", F.R.S. Phil. Trans. Roy. Soc. Lond. B 211, pp: 21-87.
- REFERENCES
- 1. Chung, K.H., Cox, R.A.K., (1994), "A stochastic model of superstardom: an application of the Yule distribution". Review of Economics and Statistics 76, p: 771-779.
 - 2. Hope, A.C.A., (1968), "A simplified Monte Carlo significance test procedure". Journal of the Royal Statistical Society [B] 2, pp: 582-598.
 - 3. Martínez-Rodríguez, A.M., Sáez-Castillo, A.J. and Conde-Sánchez, A., (1991), "Modelling using an extended Yule distribution", Computational Statistics and Data Analysis 10, pp: 863-873.
 - 4. Simon, H.A., (1940), "On a class of skew distribution functions", Biometrika 31, p: 420-444.